



## Perspectives de prise en charge des rachitismes vitamino-résistants

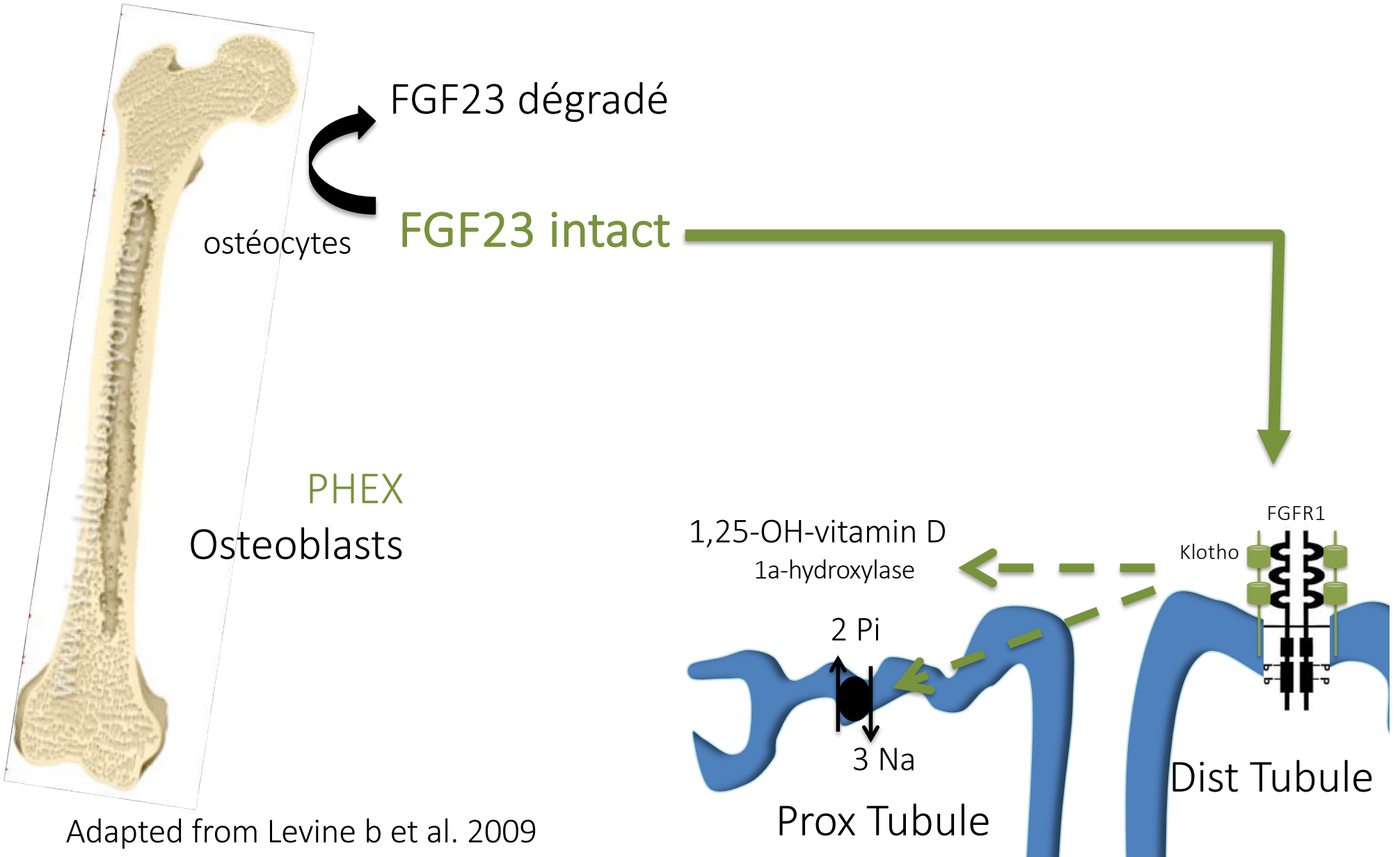
Anya Rothenbuhler, Catherine Chaussain, Caroline Silve,  
Peter Kamenicky, Philippe Wicart, Federico Di Rocco,  
Karine Briot, Agnès Linglart

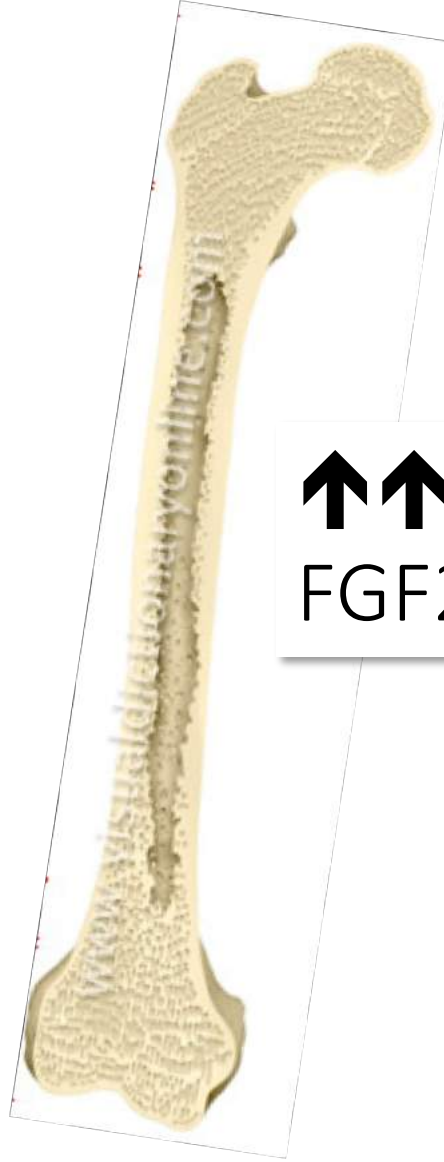
[agnes.linglart@aphp.fr](mailto:agnes.linglart@aphp.fr)

Centre de référence des maladies rares du métabolisme  
du calcium et du phosphore  
Plateforme d'Expertise des Maladies Rares Paris Sud  
INSERM U1169 et endocrinologie pédiatrique  
Hôpital Bicêtre, Paris, France

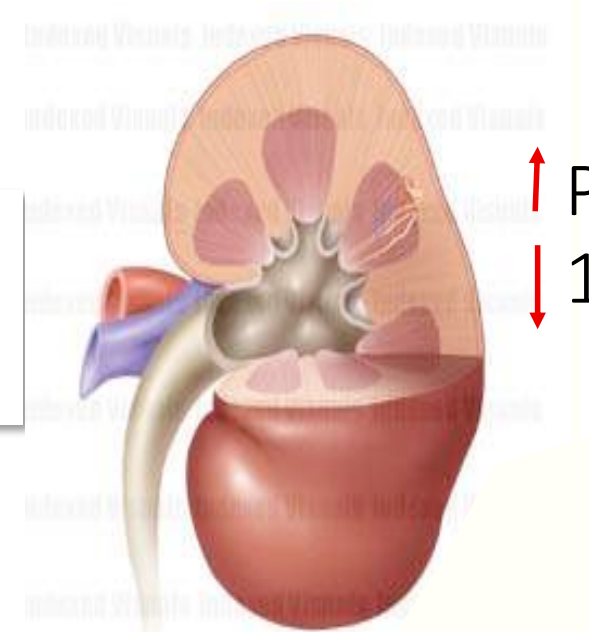
1. Physiopathologie de l'hypophosphatémie héréditaire
2. Diagnostic du XLH
3. Evolution du XLH pendant l'enfance avec le traitement conventionnel
4. Nouveaux traitements

# FGF23 et le contrôle de la phosphatémie





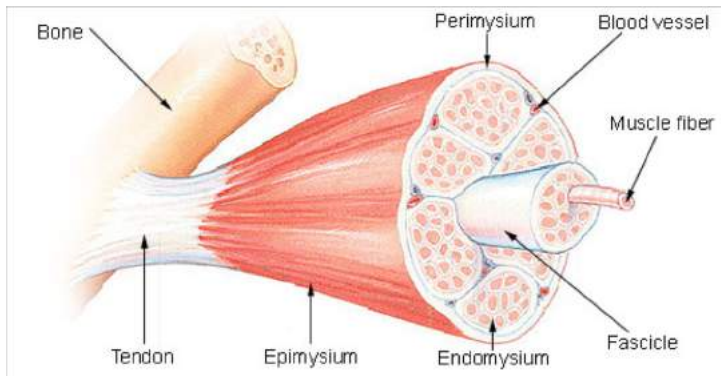
↑↑ circulating  
FGF23



Proximal Tubule

↑ PO<sub>4</sub> excretion  
↓ 1-25(OH)<sub>2</sub>D

Hypophosphatemia  
Rickets/Osteomalacia

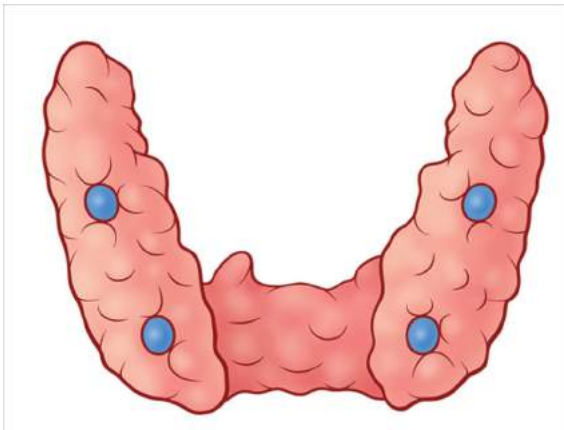


Muscle



Tooth

↑↑ circulating  
FGF23

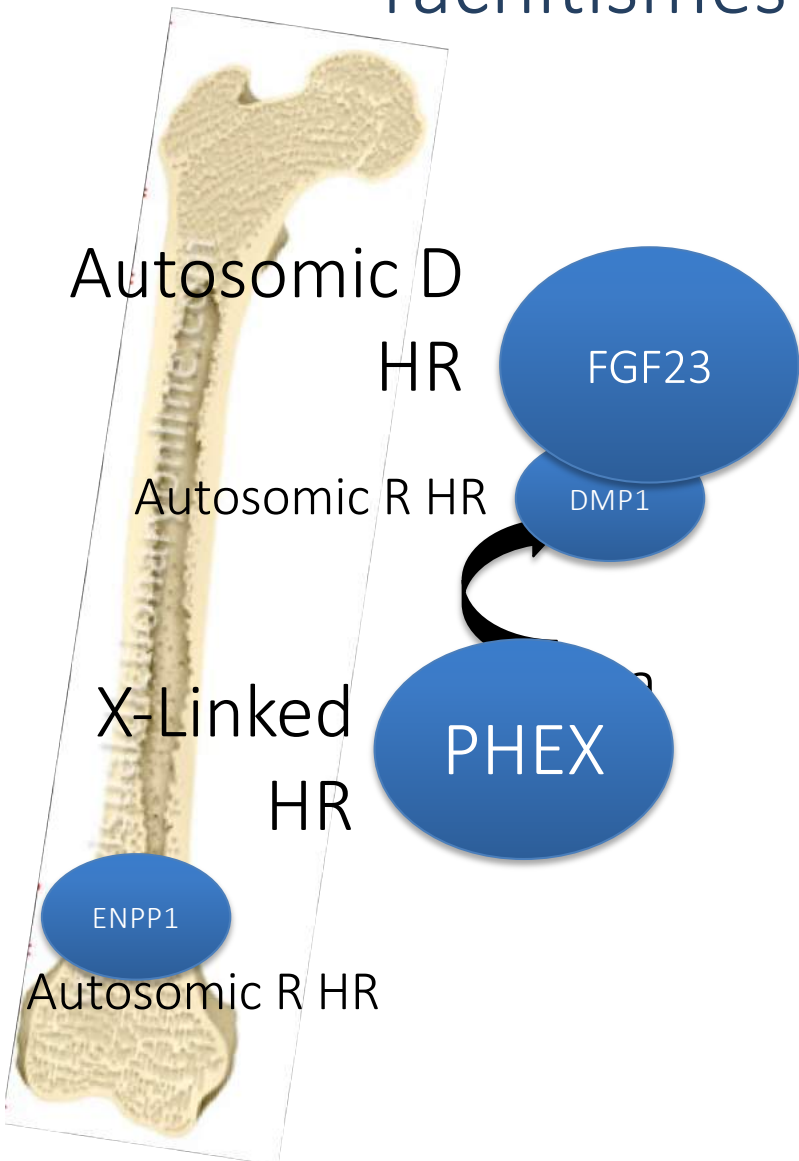


Suppresses PTH secretion

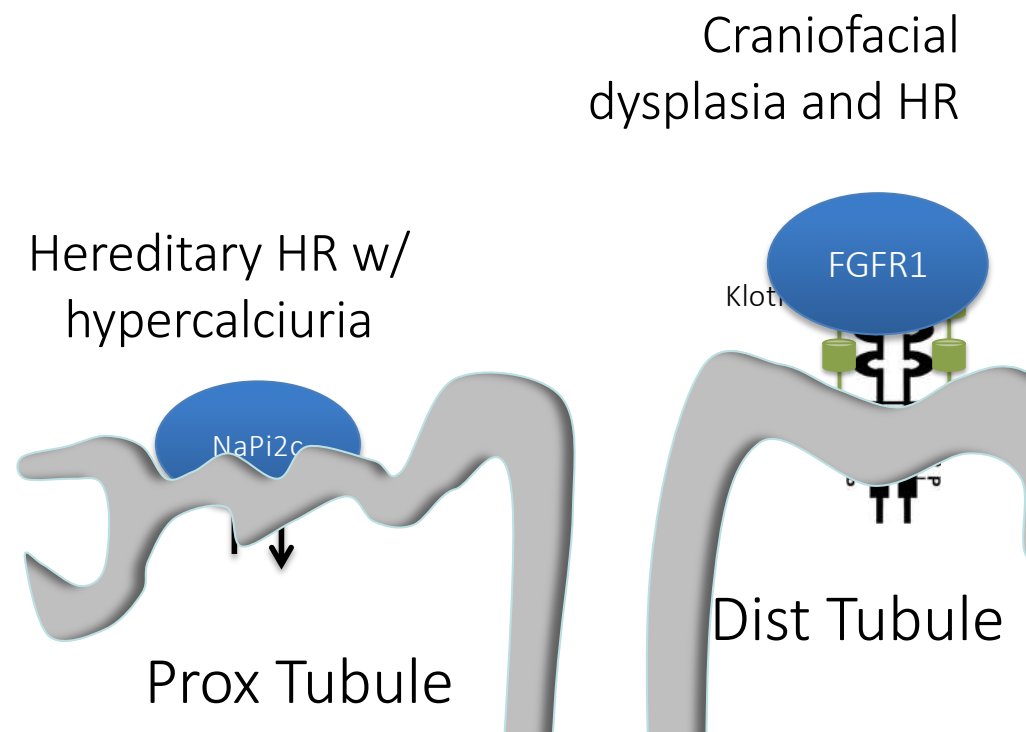


Bone

# Défauts moléculaires associés aux rachitismes hypophosphatémiques



Adapted from Levine b et al. 2009



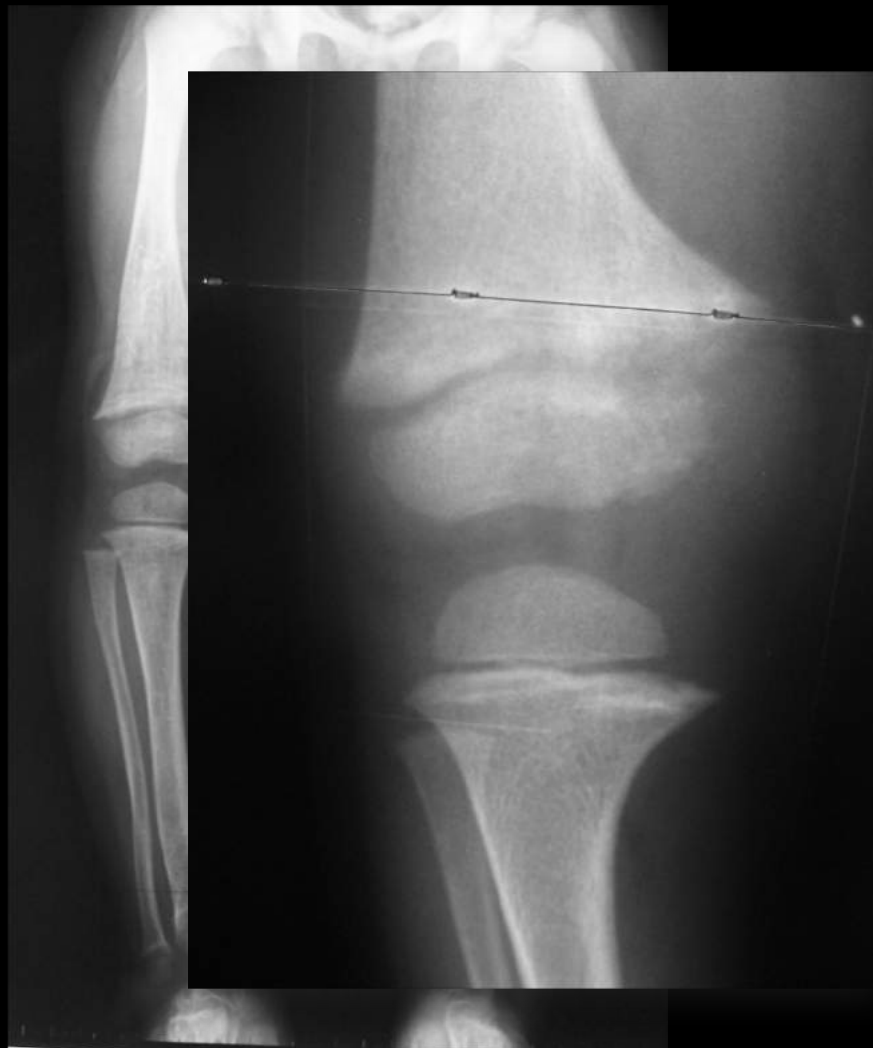
1. Physiopathologie de l'hypophosphatémie héréditaire
2. Diagnostic du XLH
3. Evolution du XLH pendant l'enfance avec le traitement conventionnel
4. Nouveaux traitements

# X-rays

## Rickets without bone resorption

Rickets + low-nl PTH  
XLHR

Rickets + elevated PTH  
1-a-hydroxylase deficiency



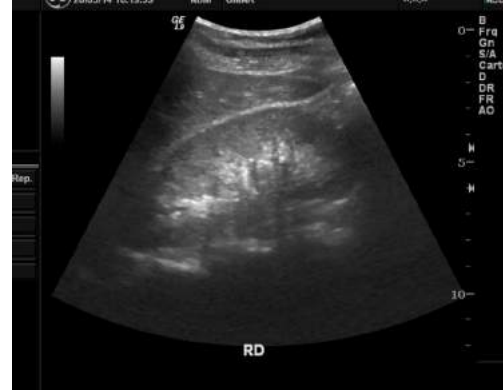
Severity is variable



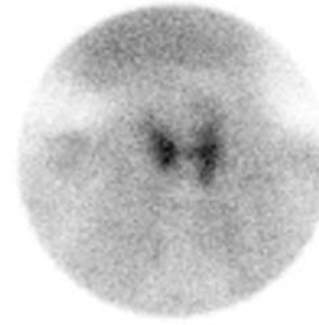
# Adultes



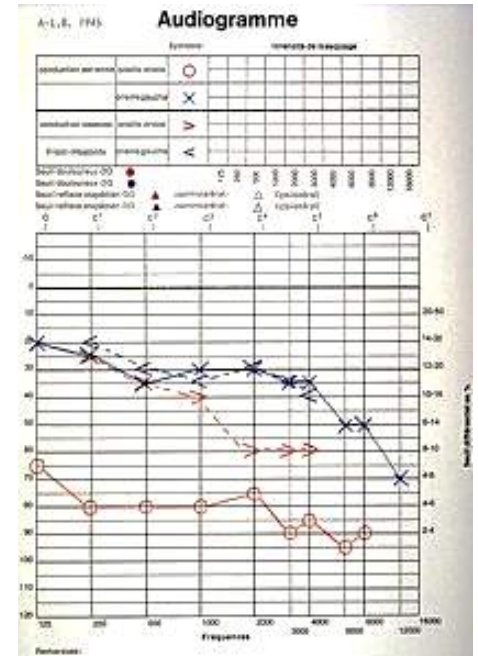
Pseudofractures



Nephrocalcinosi



Hyperparathyroidism



Hearing loss



Leg deformities



Osteomalacia

Bone pain and rheumatologic issues

Arthrosis

Enthesopathy



Beck-Nielsen et al. Calcif Tissue Int, 2010; 87(2): 108

# Profil clinique et biochimique du XLH

## Au diagnostic

Mutation PHEX

FGF23 intact detectable ou élevé

**Phosphate urinaire élevé**

TRP bas (inapproprié)

**Phosphate sérique bas**

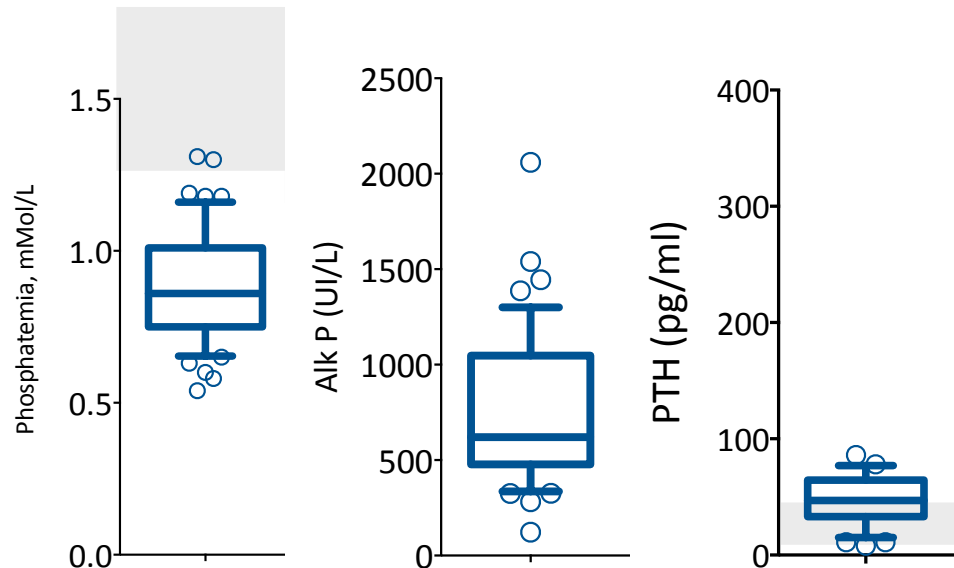
**Phosphatase alcaline élevée**

1,25 (OH)<sub>2</sub> vitamin D basse

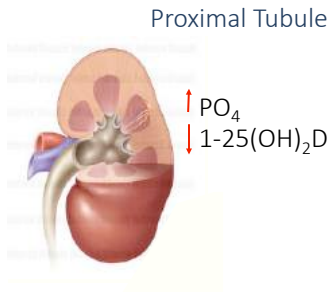
**Calcium urinaire indétectable**

Calcémie normale

**PTH normal/limite sup (inappropriée)**



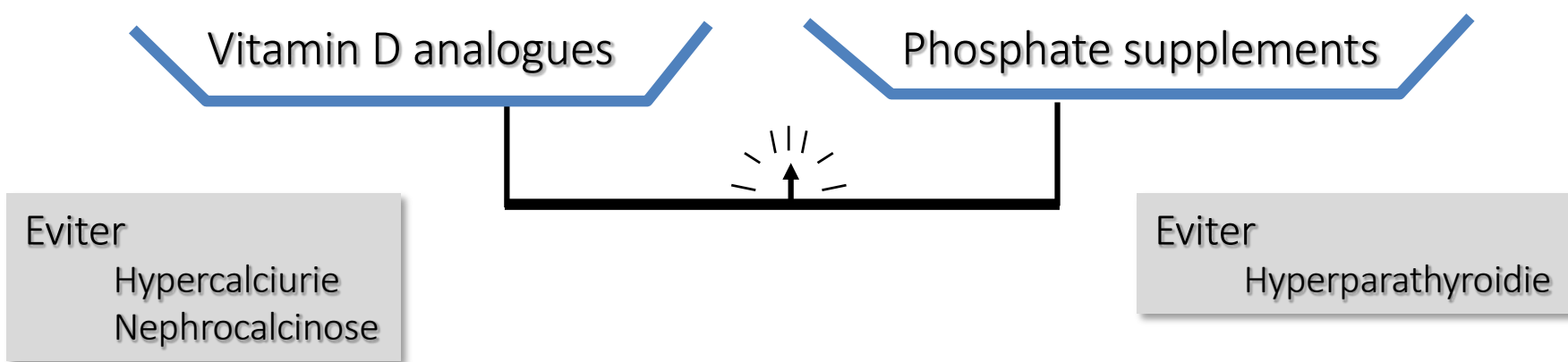
PTH:  $47 \pm 20$  pg/ml  
Min: 8      Max: 86



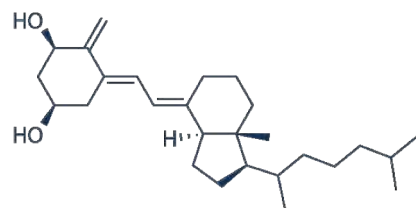
# Traitemen<sup>t</sup> conventionnel du XLH

= compenser les atteintes r  nale  s

Croissance  
Gu  rir le rachitisme  
Mineralisation os et dents

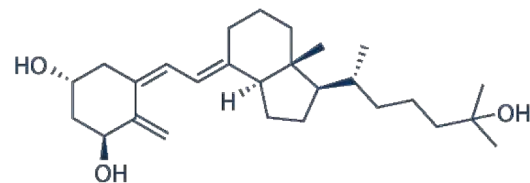


	Childhood	Adolescence	Adjusted on
<b>Alfacalcidol</b> ug/day	1.4 (1-2)	2.2 (1-3)	Alk.Phos. Growth, U. Ca+
<b>Phosph. Suppl.</b> mg/kg/d	64 (40-70) 3 to 4 times/day	36 (30-50) 3 times/day	Kg PTH



Alfacalcidol

Half-life 3-12 h



Calcitriol

Half-life 5-8 h

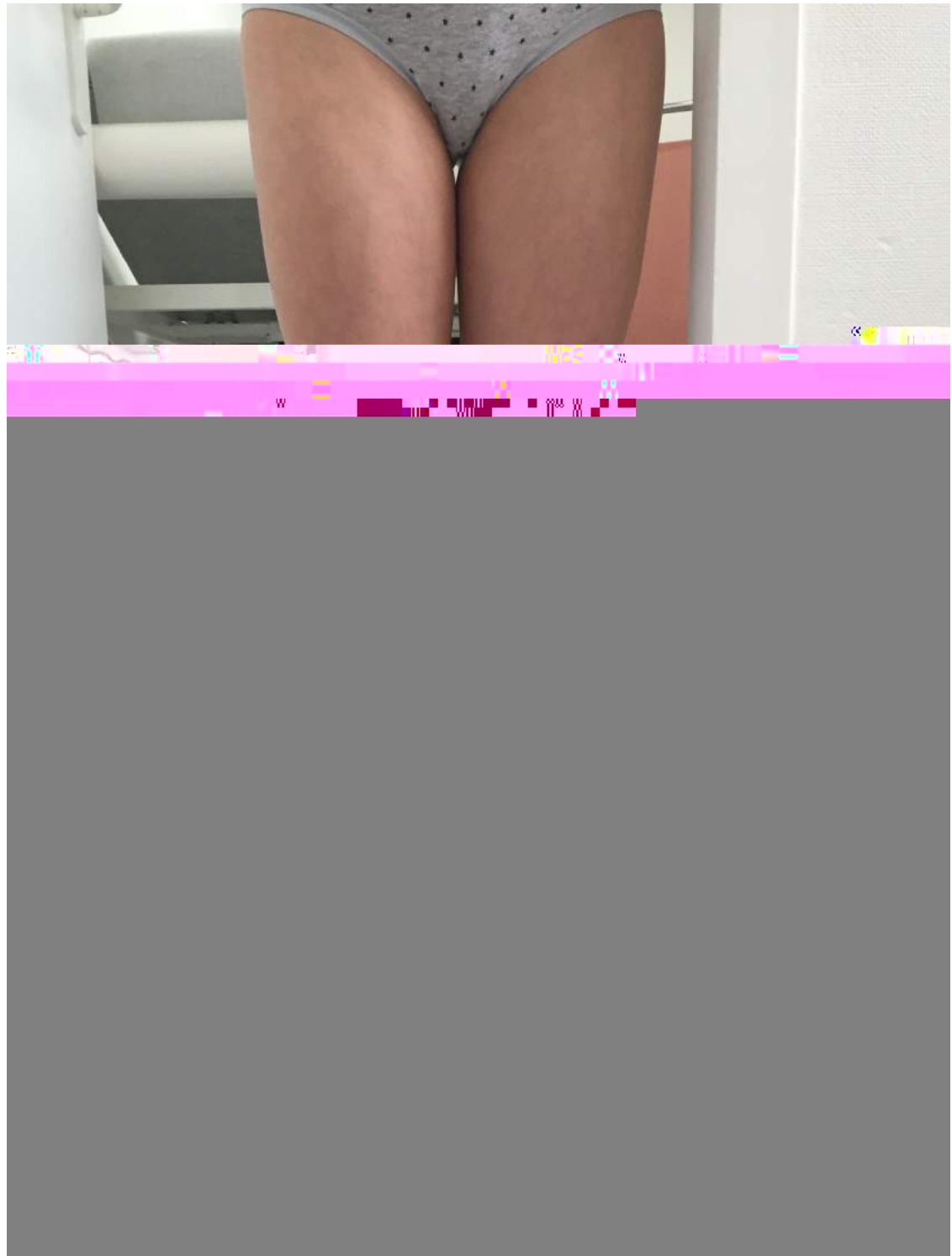


Phosphoneuros

1. Physiopathologie de l'hypophosphatémie héréditaire
2. Diagnostic du XLH
3. Evolution du XLH pendant l'enfance avec le traitement conventionnel
4. Nouveaux traitements

Manon, 12 years old  
Started the treatment at the age of  
9 months  
Daughter of an affected father

No leg bowing, normal walking

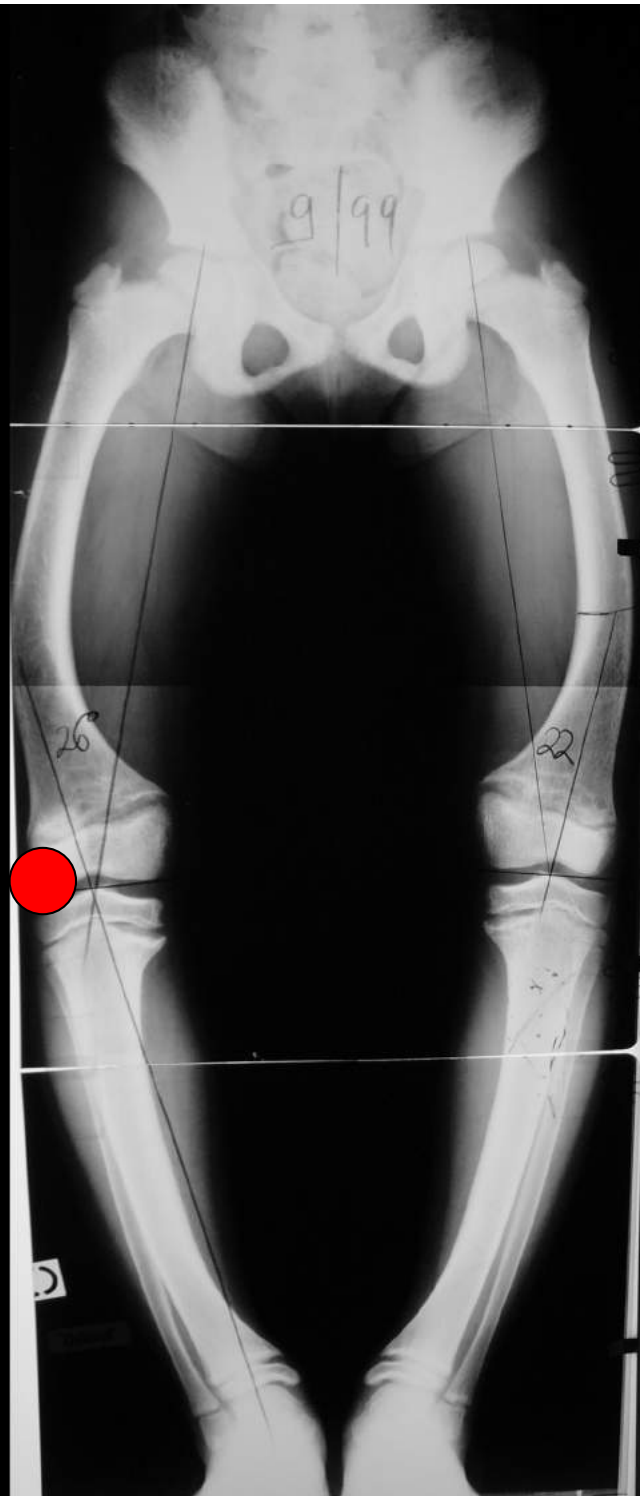
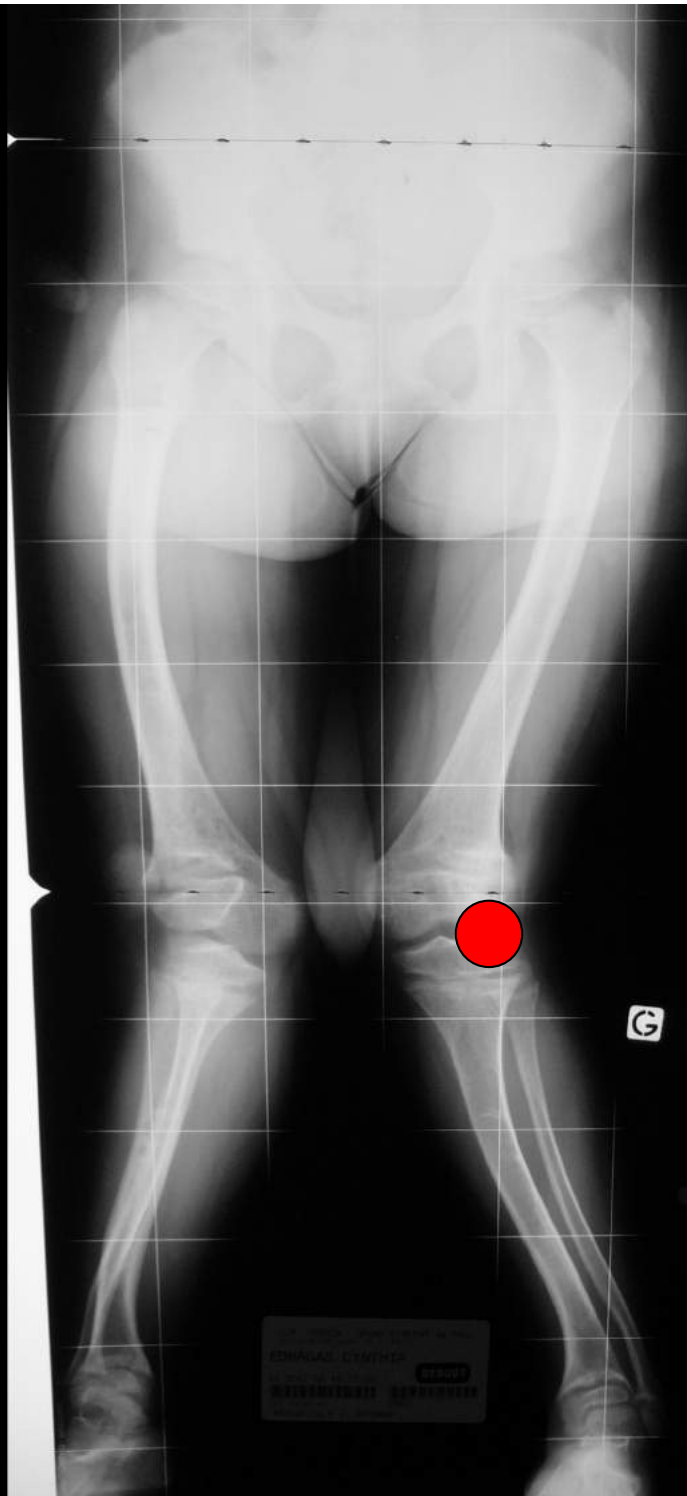




Persistent leg bowing

Long term consequences





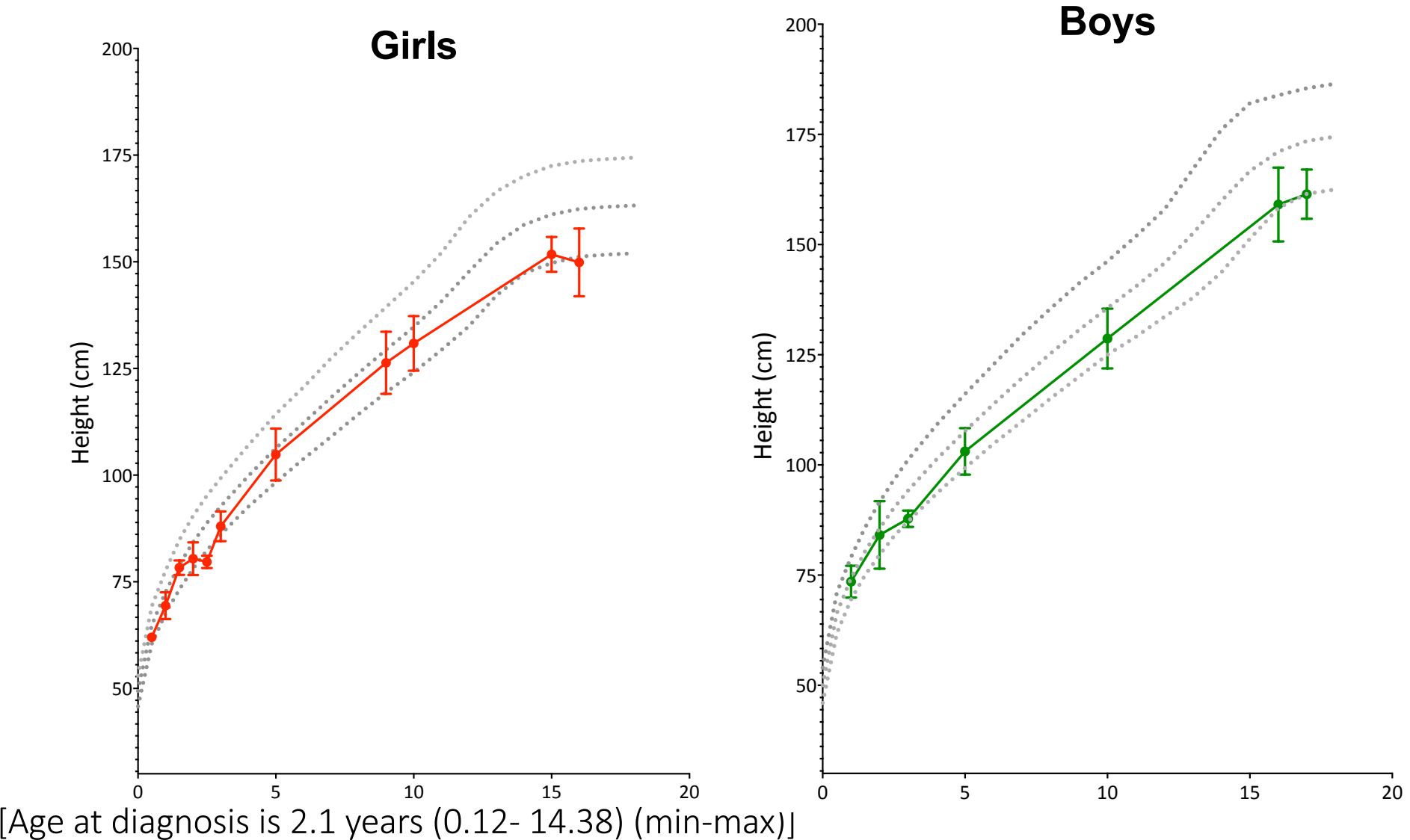
# Corrective surgery in XLH

	Diagnosis	5 years	10 years	Near adult height
	N= 90	N= 68	N= 58	N= 41
Corrective leg surgery	3.3%	3%	6.9%	31.7%

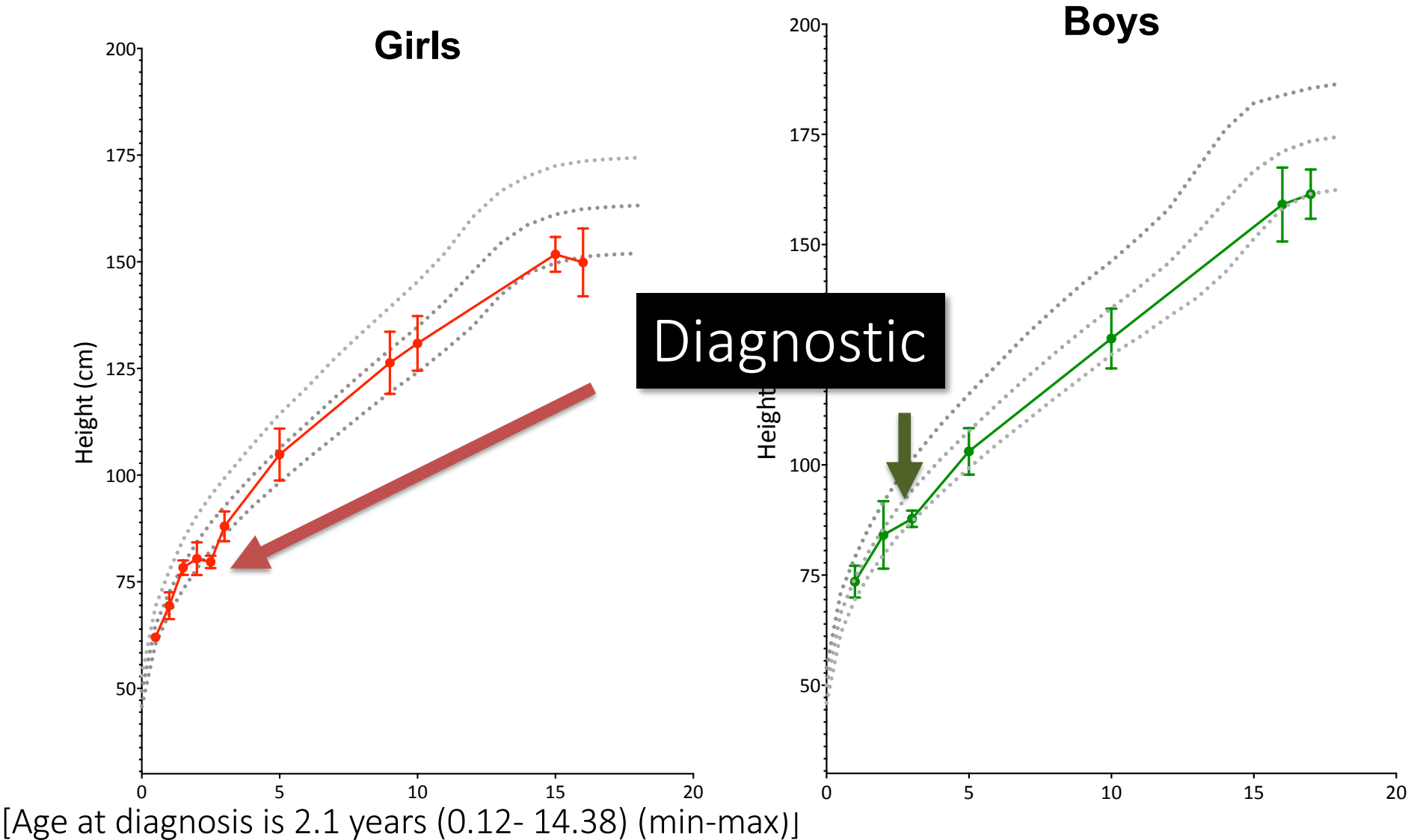
In a series of 49 patients who had surgery  
At a mean age of 13,4 ans [ $\pm$  5]

Recurrence of rickets and leg bowing	# of 2 <sup>nd</sup> surgery
• 46% if surgery was before the age of 11	2,0 [ $\pm$ 0,9]
• 25% if surgery was between 11 and 15	1,7 [ $\pm$ 0,9]
• 19% if surgery was after the age of 15	1,2 [ $\pm$ 0,35]

# La croissance des patients sous traitement



# Le traitement accélère la vitesse de croissance



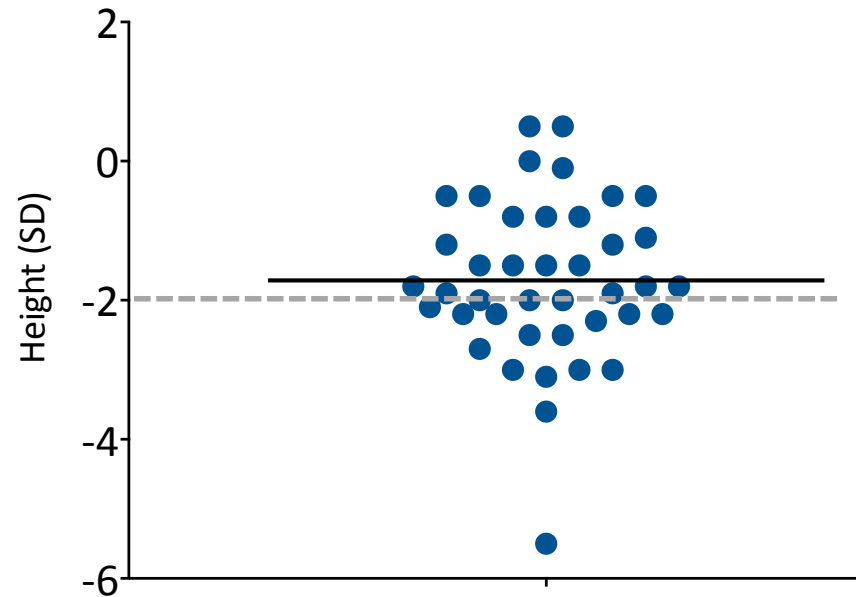
# Mais ne permet pas un rattrapage complet du capital de croissance

41 patients sous vitamin D analogues et Pi depuis l'âge de 2.1 ans  
Dans le même centre

La taille finale :

159.6 cm (155.2-163.9) Hommes  
150.8 cm (148.5-152.5) Femmes  
 $-1.7 \text{ SD} \pm 1.1$

18/41 des jeunes adultes ont une TF  $< -2\text{SD}$

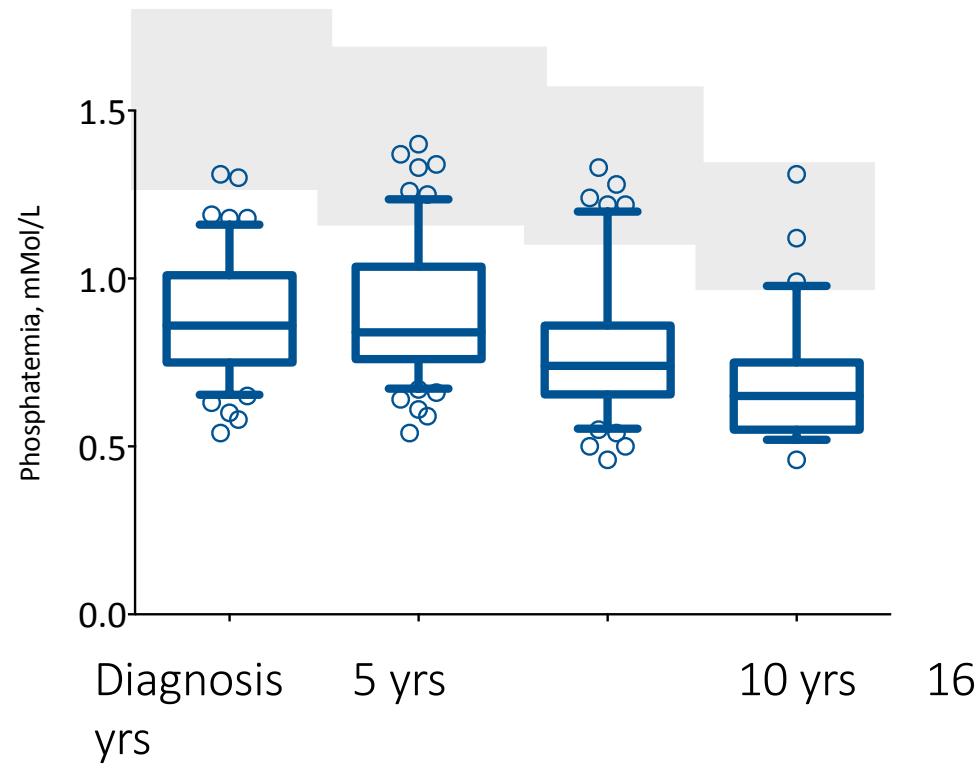


-1.08 SD Verge et al. NEJM 1991

-2.8 SD Živičnjak Pediatr Nephrol 2011

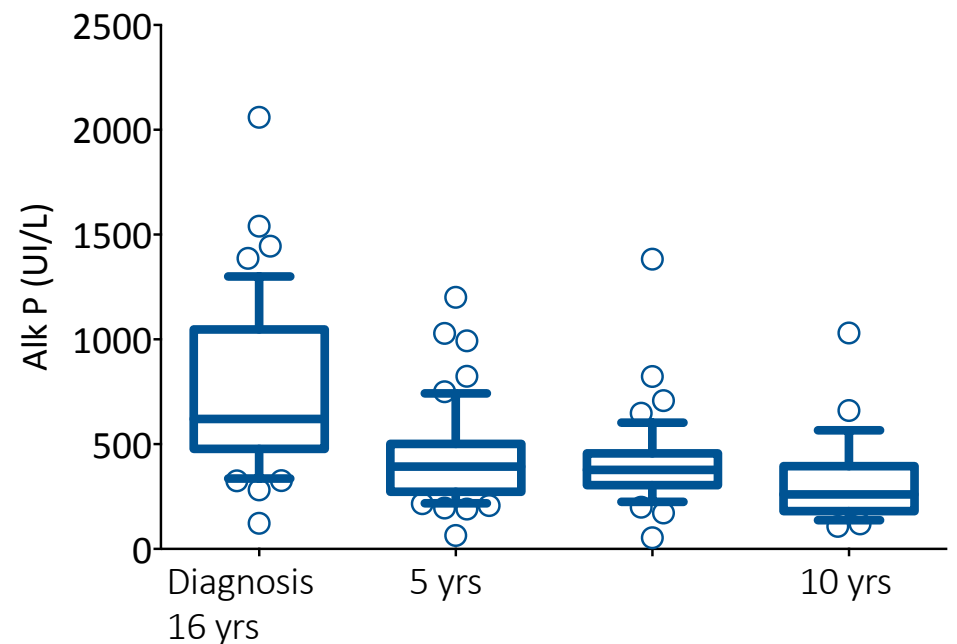
-1.8 SD (girls) Sochett 2008

# Le traitement conventionnel ne restaure pas la perte rénale de phosphate



Fasting phosphate

N=163, Bicêtre cohort of XLH



Mais normalise les phosphatases alk...

# Le traitement actuel est insatisfaisant

La moitié des patients ont une taille normale

7/10 n'ont pas eu de chirurgie correctrice

Les dents sont normales à la fin de la croissance

## Les adolescents

- La moitié ont une petite taille
- 77% ont des douleurs osseuses (Cohort of Bicêtre)
- 64% ont des douleurs articulaires,
- 41% ont une limitation de la mobilité  
(web-based questionnaire filled out by the parents)

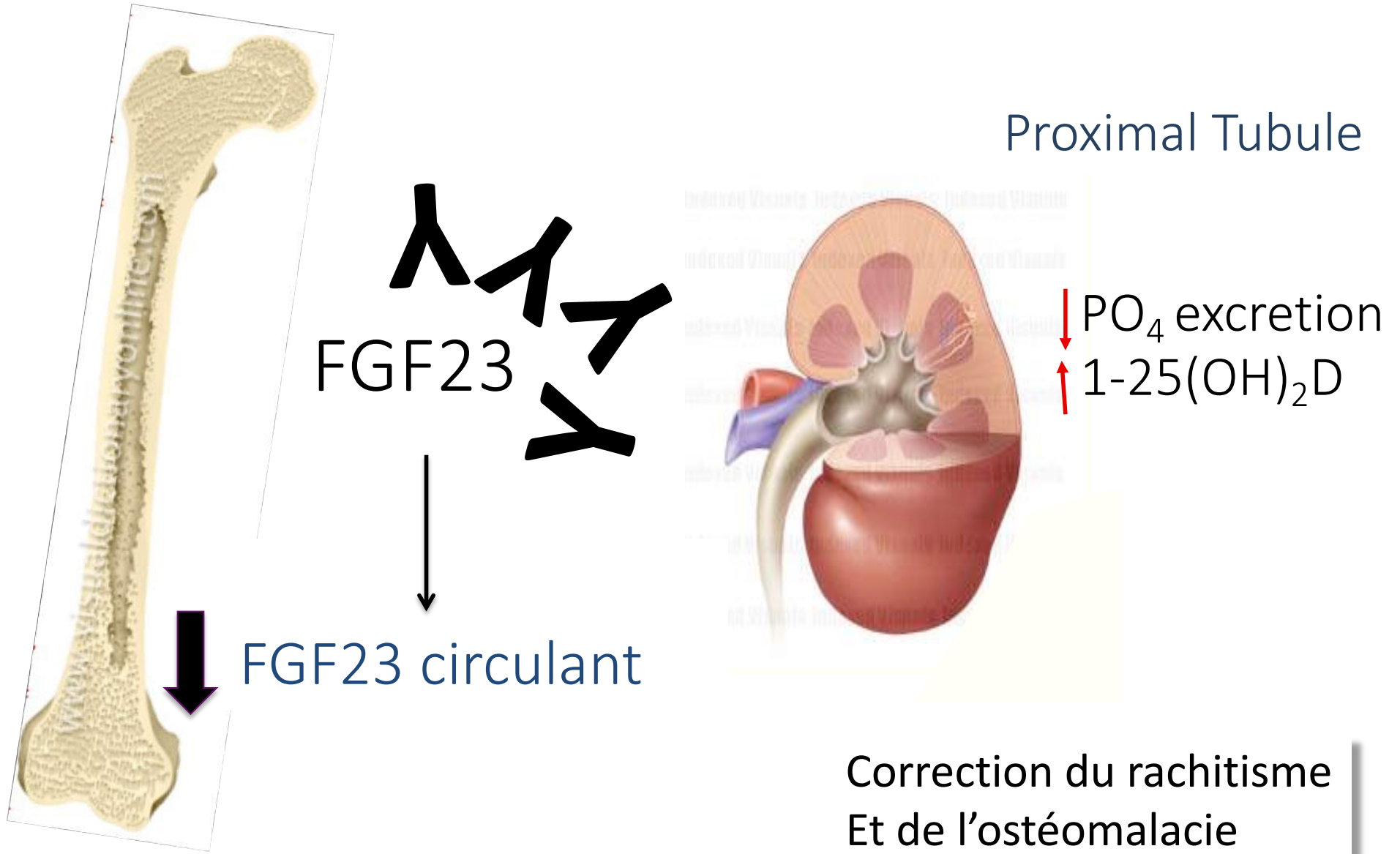
## Les adultes

- Qualité de vie plus basse que la population
- QdV identique à PR
- Fonctions et mobilité diminuées par rapport à la spondyloarthrite ankylosante

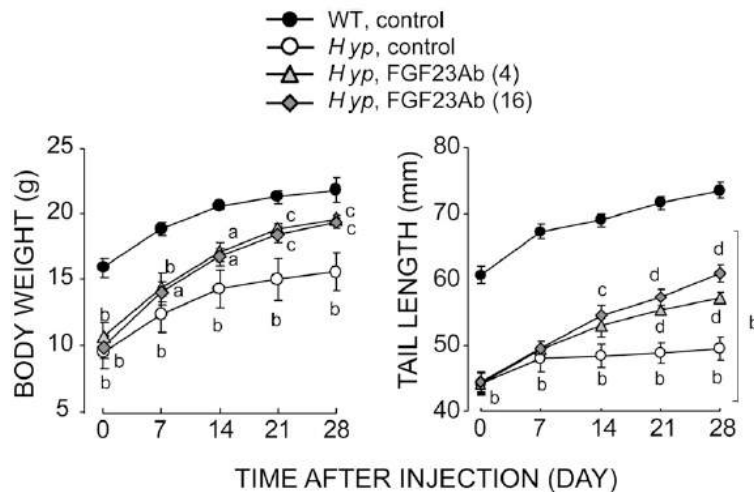
(Che, Briot, Linglart, Roux EJE, 2015)

1. Physiopathologie de l'hypophosphatémie héréditaire
2. Diagnostic du XLH
3. Evolution du XLH pendant l'enfance avec le traitement conventionnel
4. Nouveaux traitements

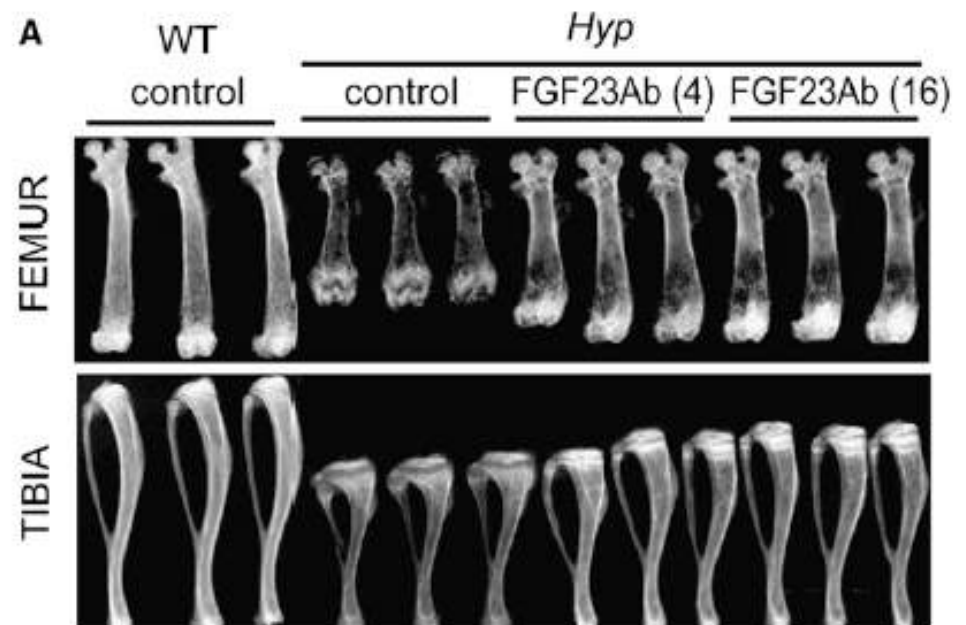
# KRN23, anticorps monoclonal anti-FGF23



# anti-FGF23 et souris *Hyp*



	WT	Hyp	Anti-FGF23
<b>Pi (mg/dl)</b>	$7.6 \pm 0.3$	$5.1 \pm 0.2$	$7.6 \pm 0.4$
<b>1.25OHD (pg/ml)</b>	$139 \pm 14$	$137 \pm 8$	$1007 \pm 19$



THERAPEUTIC EFFECTS OF ANTI-FGF23 ANTIBODIES IN HYP MICE

AONO ET AL.

JOURNAL OF BONE AND MINERAL RESEARCH, 2009

# Essai de phase 1, anti-FGF23 chez 38 adultes

## Randomized trial of the anti-FGF23 antibody KRN23 in X-linked hypophosphatemia

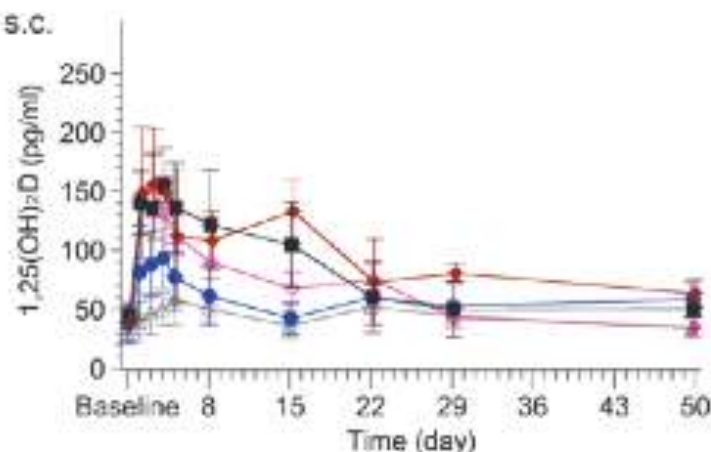
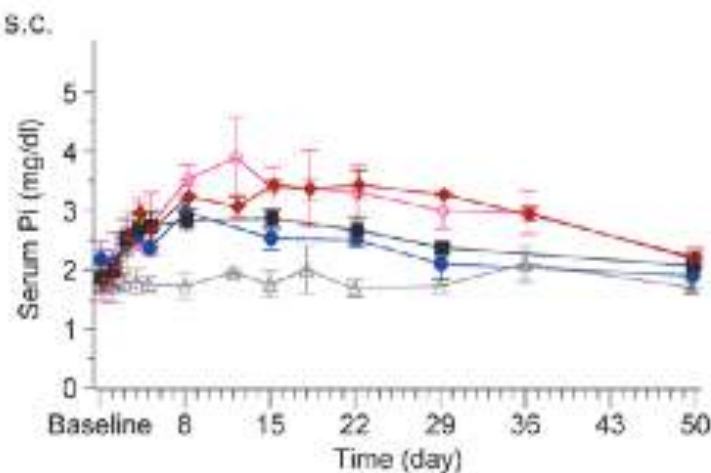
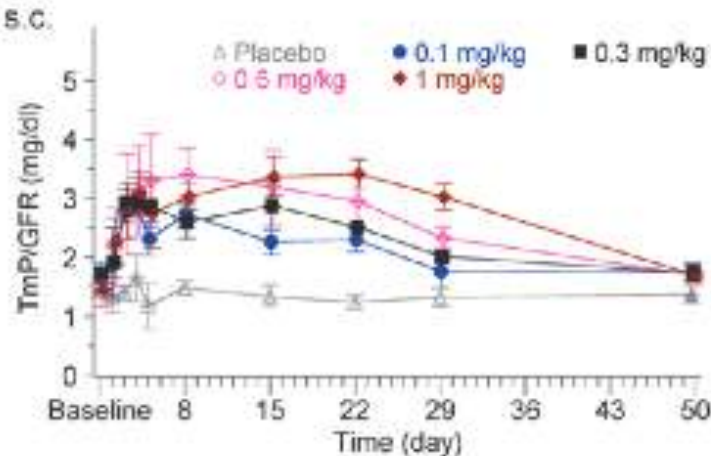
Thomas O. Carpenter,<sup>1</sup> Erik A. Imel,<sup>2</sup> Mary D. Ruppe,<sup>3</sup> Thomas J. Weber,<sup>4</sup> Mark A. Klausner,<sup>5</sup>  
Margaret M. Wooddell,<sup>5</sup> Tetsuyoshi Kawakami,<sup>5</sup> Takahiro Ito,<sup>5</sup> Xiaoping Zhang,<sup>5</sup>  
Jeffrey Humphrey,<sup>5</sup> Karl L. Insogna,<sup>1</sup> and Munro Peacock<sup>2</sup>

The Journal of Clinical Investigation    <http://www.jci.org>    Volume 124    Number 4    April 2014

Phase 1, double-blind, randomized, placebo controlled, single-dose study of KRN23 in XLH-adults

22 adultes XLH: une dose de KRN23

16 adultes XLH: une dose de placebo



Amélioration dose-dépendante

- de la réabsorption du phosphate U
- de la phosphatémie
- des taux de 1,25OHD<sub>2</sub>

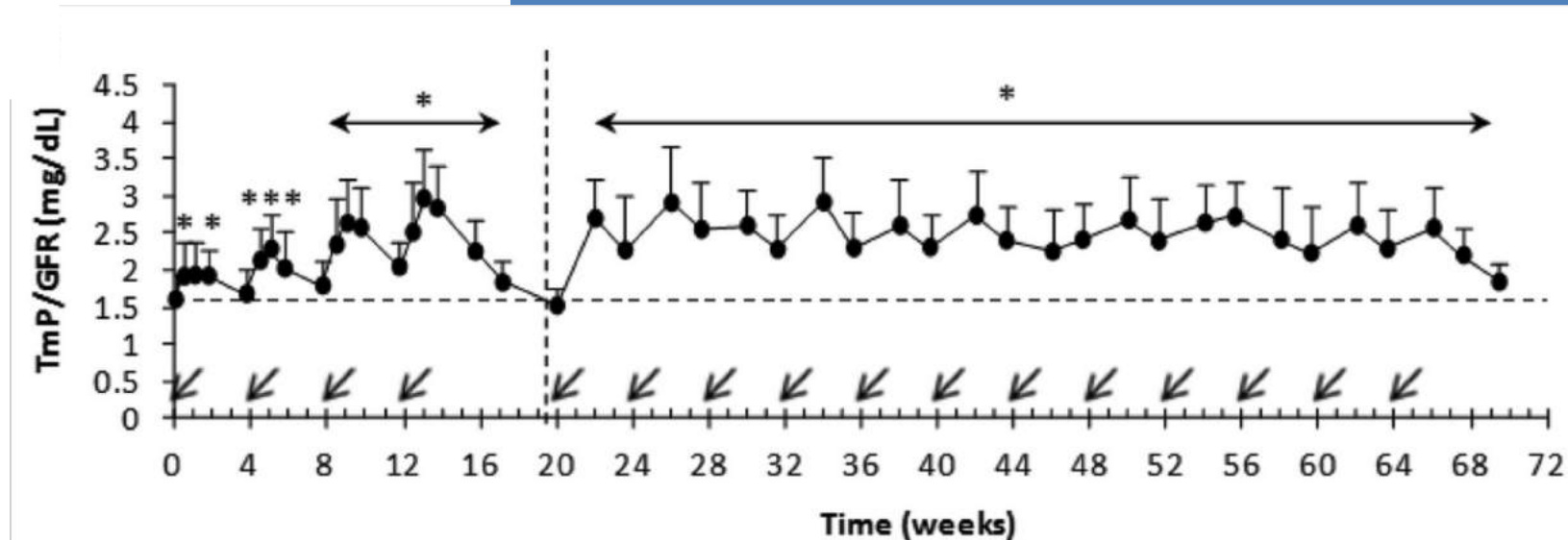
# Essai de phase 1/2 anti-FGF23 chez 28 adultes

## Prolonged Correction of Serum Phosphorus in Adults With X-Linked Hypophosphatemia Using Monthly Doses of KRN23

Erik A. Imel, Xiaoping Zhang, Mary D. Ruppe, Thomas J. Weber, Mark A. Klausner, Takahiro Ito, Maria Vergeire, Jeffrey S. Humphrey, Francis H. Glorieux, Anthony A. Portale, Karl Insogna, Munro Peacock, and Thomas O. Carpenter

Phase 1/2 open-label, dose-escalation study

Amélioration de la réabsorption tubulaire du P



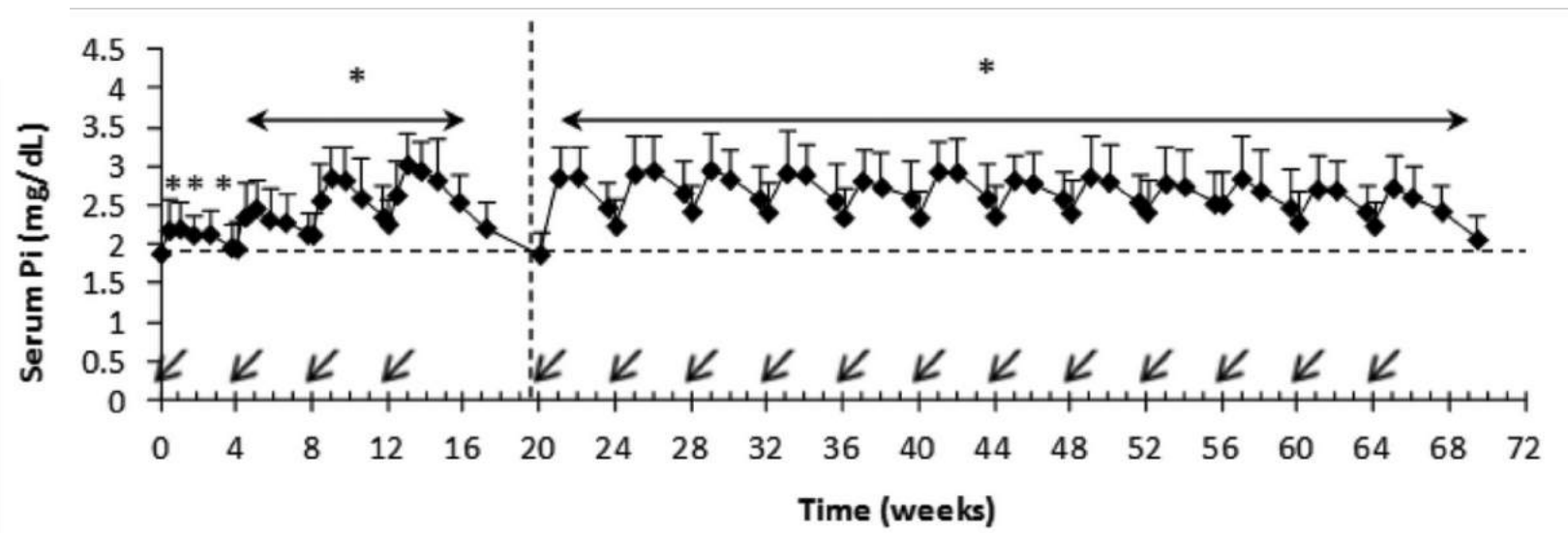
# Essai de phase 1/2 anti-FGF23 chez 28 adultes

## Prolonged Correction of Serum Phosphorus in Adults With X-Linked Hypophosphatemia Using Monthly Doses of KRN23

Erik A. Imel, Xiaoping Zhang, Mary D. Ruppe, Thomas J. Weber, Mark A. Klausner, Takahiro Ito, Maria Vergeire, Jeffrey S. Humphrey, Francis H. Glorieux, Anthony A. Portale, Karl Insogna, Munro Peacock, and Thomas O. Carpenter

Phase 1/2 open-label, dose-escalation study

Amélioration de la phosphatémie



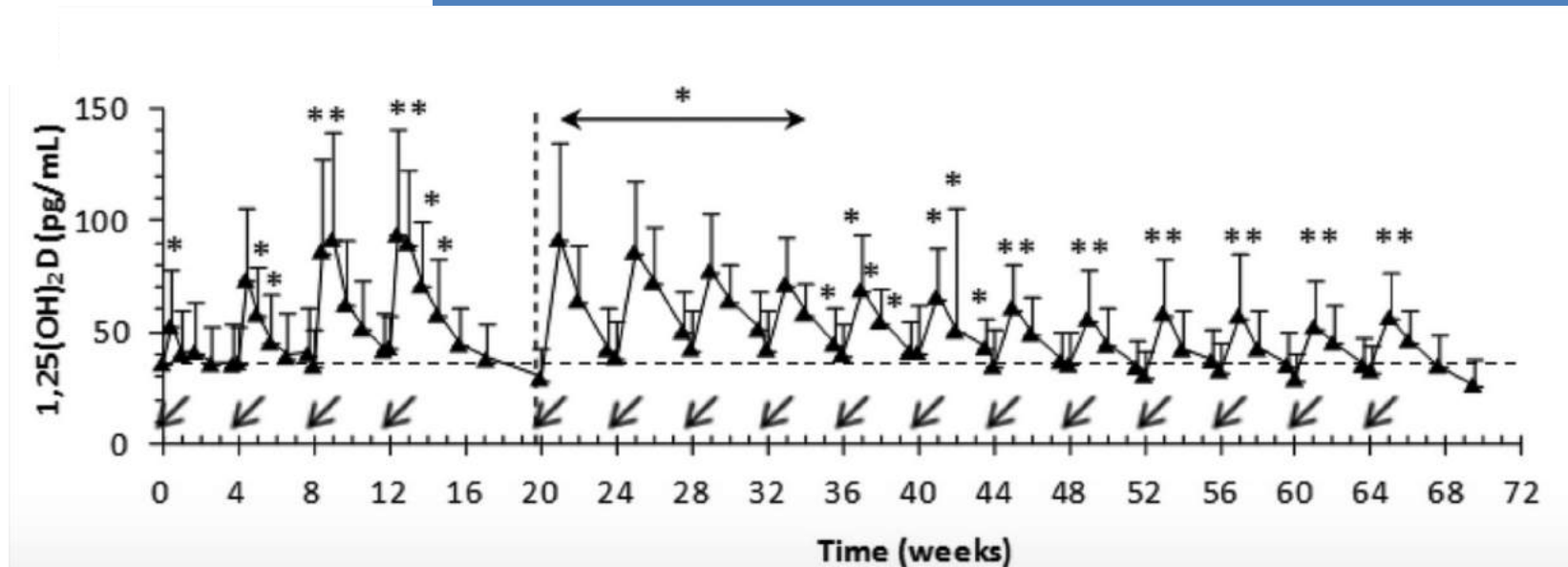
# Essai de phase 1/2 anti-FGF23 chez 28 adultes

## Prolonged Correction of Serum Phosphorus in Adults With X-Linked Hypophosphatemia Using Monthly Doses of KRN23

Erik A. Imel, Xiaoping Zhang, Mary D. Ruppe, Thomas J. Weber, Mark A. Klausner, Takahiro Ito, Maria Vergeire, Jeffrey S. Humphrey, Francis H. Glorieux, Anthony A. Portale, Karl Insogna, Munro Peacock, and Thomas O. Carpenter

Phase 1/2 open-label, dose-escalation study

Augmentation transitoire des taux de  $1,25(\text{OH})_2\text{D}$



# Essai de phase 2 anti-FGF23 chez 50 enfants

Randomized, Open-label, Dose-finding, Phase 2 Study

Données à 40 Semaines présentées en mars 2016

Amélioration significative

- du score de rachitisme
- de la phosphatémie

Augmentation des taux de 1,25OHD<sub>2</sub>

Q2

Baseline (Déc 2014)



9 mois (Sep 2015)



Q2

Baseline (Déc 2014)



9 mois (Sep 2015)



Baseline (Déc 2014)



9 mois (Sep 2015)



RSS: 1,5

Q4

Baseline (Déc 2014)



9 mois (Sep 2015)



# Quelles autres perspectives?

- Non-FGF23 related
  - Targ-sPHEX Enobia/Alexion stopped phase I
  - Peptide anti-ASARM Rowe's lab stopped PC
- FGF-23 related
  - Anti-FGF23 Kirin Phase II
  - Calcitonin Yale University Phase I
  - FGF23 avimer Pfizer preclinical
  - FGF23 inhibitor Novartis preclinical
  - Furin activator D6R Univ Madison preclinical
  - siRNA Univ Madison preclinical

# Conclusion

1. XLH est la forme la plus fréquente de rachitisme/ostéomalacie VD résistante
2. Le traitement conventionnel est efficace chez un grand nombre de patients pour corriger le rachitisme si
  - La dose est suffisante
  - La compliance est correcte
  - Le traitement est débuté tôt dans la vie
3. Le traitement nécessite une équipe multidisciplinaire
4. De nouvelles thérapies permettront d'améliorer les symptômes non guéris par le TC

A. Linglart



Ped. Endocrinologist

A. Rothenbuhler



P. Wicart



Pediatric  
orthopedic  
surgeon

S. Guillaume



Pediatric  
rheumatologist

F. Di Rocco



Pediatric  
Neurosurgeon

V. Merzoug



Pediatric  
Radiologist

P. Kamenicky



Adult  
endocrinologist

F. Sailhan



Adult  
Orthopedic  
surgeon

K. Briot



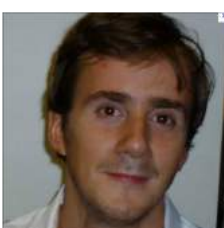
Adult  
rheumatologist

C. Chaussain



Dentist

M. Biosse-Duplan



Parodontist

C. Silve



Geneticist

## Our medical team at Bicêtre

J. Nevoux



HEENT